

## (115) 摊似移動層による酸化鉄ペレットの還元

名古屋大学大学院 小林敬司 澤 義彦 (現・川崎製鉄)  
名古屋大学工学部 桑原 守 佐々健介 順巖

1. 緒言 鉄鉱石還元における向流式移動層の長所を保持し、かつ、粒子運動に伴うトラブルを回避できる装置として摊似移動層が知られています。本研究では、酸化鉄ペレットの還元における伝熱および反応の特性を理論解析に基づいて検討した。

2. 反応操作 摊似移動層では数段の固定層を直列的に配列し、ガスの流入および流出端の位置を一定時間ごとにガスの下流側にスライドさせる。Fig. 1 は反応器を 5 段とし、そのうちの 1 段を粒子の排出と流入にあてるとして場合の操作の模式図を示す。反応としては、酸化鉄の  $H_2$  および  $CO$  による間接還元と本性ガス変換反応を考慮した。

3. 数学的モデル 任意の段のスライド直後からのアロエス変数の経時変化は、断面内の分布を無視すれば、以下の式で表現できる。[熱収支式] (1)  $\frac{\partial(C_g G_g T_g)}{\partial z} = R_p \alpha(T_s - T_g) + \eta_g \sum_i (\Delta H_i) R_i^* \dots (1)$ , [粒子]  $\frac{\partial(C_s \rho_s T_s)}{\partial t} = f_p \alpha(T_g - T_s) + \eta_s \sum_i (\Delta H_i) R_i^* \dots (2)$ ; [成分濃度] (ガス中 k 成分)  $\frac{\partial(U_g C_k)}{\partial z} = \sum_i \nu_{ki} R_i^* \dots (3)$ , (粒子層内酸素)  $\frac{\partial(C_o / \partial t)}{\partial z} = \sum_i \nu_{oi} R_i^* \dots (4)$ ; [ガス流れ] (連続の式)  $\frac{\partial \rho}{\partial z} = \sum_i \beta_{ik} R_i^*, \beta_k = \sum_i (\nu_{ki} M_k)_g \dots (5)$ , (Ergun 式)  $\frac{\partial P}{\partial z} = -(f_1 + f_2 \rho_g) \frac{dP}{dz} \dots (6)$

4. 計算結果 送入ガスの温度 1073 K, (組成)  $H_2 52\%$ ,  $CO 34\%$ ,  $CO_2 3\%$ ,

$N_2 11\%$ , 流入粒子温度 323 K, 各段の長さ 2.5 m を計算の基準条件とした。

Fig. 2 は、反応器が一段の場合における層内ガス温度分布の経時変化を示している。約 1 時間でガスは破過すると認められるので、多段の場合におけるスライド時間は 3600 秒とした。4 段で計算した還元率分布を Fig. 3(a) の実線で、また、同条件における向流式移動層の場合の計算結果を破線で示す。Fig. 3(b) は各固定層間に  $H_2O$  を除去した場合の計算結果であるが、最終段の平均還元率を 95% 以上としたとき、段数をほぼ一段節約できることがわかる。

5. 結論 摊似移動層による酸化鉄の還元では、各段間で  $H_2O$  を除去することにより、向流式移動層よりも少ない段数でより良い反応成績が期待できる。

(記号)  $\alpha$ : 比表面積,  $C_k$ : ガス

分子濃度,  $C_g, G$ : ガスと粒子の比熱,  $\eta_g$ :  
ガスの質量速度,  $(-\Delta H_i)$ : 断熱,  $f_p$ : 粒子  
流体間伝熱係数,  $M_k$ : 分子量,  $P$ : 壓力  
 $R_i$ ,  $T_g, T_s$ : ガスと粒子の温度,  $t$ : スライ  
ド後の経過時間,  $R^*$ : 線括反応速度,  
 $z$ : 距離,  $\nu$ : 反応熱の取得率,  $\nu_{ki}$ :  
i番目へ反応における k 成分の化学  
量論係数,  $\rho_b$ : ガス密度

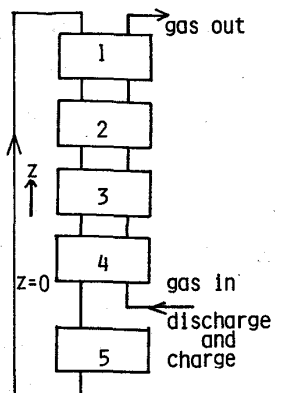


Fig. 1 Schematic diagram of simulated moving bed.

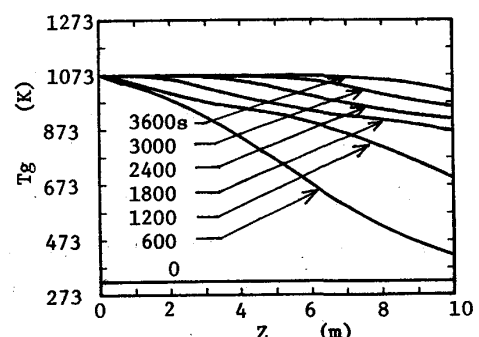
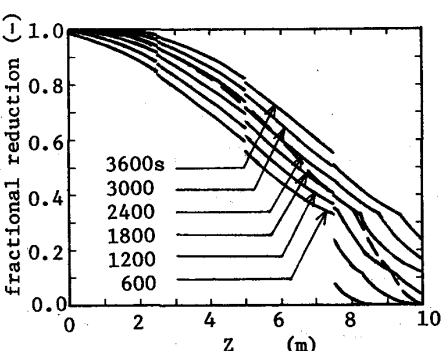
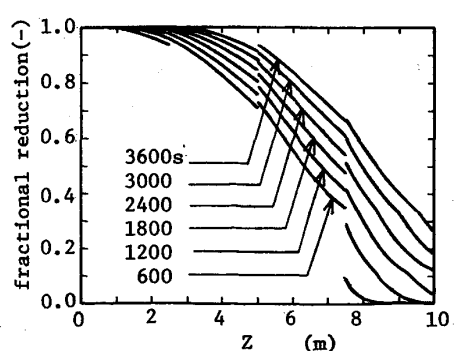


Fig. 2 Break-through curve for  $T_g$ .



(a) without  $H_2O$  elimination



(b) with  $H_2O$  elimination

Fig. 3 Transient change in calculated fractional reduction.